目 次

₩ 🗴	
赤外吸収スペクトルの医薬品試験における応用(第 16 報)局方医薬品の polymorphism に	_
関する研究(その2)・・・・・・・・・・・・・・・・・・大場琢磨・小山良子・・	1
赤外吸収スペクトルの医薬品試験における応用(第 17 報)局方医薬品の polymorphism に 関する研究(その3)・・・・・・・・・・・・・・・・・・・・・・大場琢磨・小山良子・・・・・・・・・・・・・・・・・・・・・・・・・・・・・・・・・・・	4
オートアナライザーによる医薬品の分析(第1報)解熱鎮痛剤中のスルピリンの定量	4
カードアアライサーによる医薬品の分析 (第1報) 解然頭補利中のヘルピップの定量 	7
オートアナライザーによる医薬品の分析(第2報)解熱鎮痛剤中のアセチルサリチル酸,サリ	•
チル酸およびサリチル酸ナトリウムの定量・・・・・・・・・・・・・・・・・・・・・・・・・・・・・・・・・・・・	2
オートアナライザーによる医薬品の分析(第3報)解熱鎮痛剤中のアミノビリンの定量	
	4
鉄錯化合物を内部指示薬としたサルファ剤のジアゾ滴定(第1報)・・吉川蕗子・八木諄子・伊賀宗一郎・・1	
チアミンジスルフィドの試験法について(第1報)定量法の検討	
······松田静子•中路幸男•足立 透•谷村顕雄·· 2	0
チアミンジスルフィドの試験法について(第2報)確認試験の検討	
·····································	2
パラオキシ安息香酸エステル類のガスクロマトグラフィー・・・・・・・・・・・・・・・・・・・・・・・・・・・・・・・・・・・・	5
昭和 37,38 年度灯台飲料用天水中の 90Sr および 187Cs の定量	
·····································	9
メタノール中毒の実験的研究(第3報)ウサギ体内における放射性メタノール(¹⁴ CH ₈ OH)の	
分布と変化・・・・・・・・・・・・・・・・・・・・・・・・・・・・・・・・・・・・	5
発熱性物質試験法に関する研究(第3報)電気的ウサギ体温測定法の発熱性物質試験への応用(2)	
)
発熱性物質試験法に関する研究(第4報)電気的ウサギ体温測定法の発熱性物質試験への応用(3)	
	3
発熱性物質試験法に関する研究(第5報)注射用蒸留水の発熱性物質試験について(2)	
・・・・・・・・・・・・・・・・・・・・・・・・・・・・・・・・・・・・・	,
· · · · · · · · · · · · · · · · · · ·	
国立衛生試験所標準品(日本薬局方標準品)酢酸コルチゾン標準品,ヒドロコルチゾン標準品	
およびシアノコバラミン標準品について	
·····································	
尿中麻薬の検出について (第5報) · · · · · · · · · · · · · · · · · · ·	
大麻の確認法,顕微鏡的観察・・・・・・・・・・・・・・・・・・・・・・・・・・・・・・・・・・・・	,
避妊薬中の酢酸フェニール水銀の改良ポーラログラフ定量法・・・・・・佐藤 寿・島峯望彦・・ 59	
衛生材料の全反射赤外スペクトル・・・・・・・・・・・・・・・・・・・・・・・・・・・・・・・・・・・・	
PVC, PP フィルムおよび避妊リングの浸漬試験 · · · · · · · · · · · · · · · · · · ·	
ラテックス製コンドームについて (第2報) 市販品の試験・藤井正道・佐藤 寿・島峯望彦・篠崎 正・ 67	
紙綿類の基準について (第3報) 伊東 宏・堀部 隆・篠崎 正・70	
非吸収縫合糸の各種滅菌方法の強度に及ぼす影響について・・・・・・・・・・・・・・・・・・・・・・・・・・・・・・・・・・・・	
・輸入食品の人工着色料について(第5報)・・・・・武見和子・藤巻昌子・天野立爾・川田公平・川城 巌・・76	
矩形波ポーラログラフィーによる植物体中の微量金属分析における回収率について	
·····································	

Summary

p-Hydroxybenzoates (p HB) and some other food preservatives were separated by gas chromatography with hydrogen flame ionization detector, using silicon oil DC 550 as nonpolar column and diethylenglycol succinate polyester (DEGS) as polar column. A variety of packing and operating conditions seems to be necessary to obtain resaonable separation the each component.

In these cases, relationships between the retention times and carbon numbers of alkyl $(C_1 \sim C_7)$

have been investigated for each series of p HB. their acetates and chloroacetates. The elution acetates succeeded by DC 550 and preceded by DEGS that of p HB.

Chloroacetates of p HB which were derivated with chloroacetylchloride provided very high sensitivity and ng amount of p HB was detected, using electron capture detector (Shimadzu ECD-1A). And relationships between the response and sample amount at variable applied voltage were studied.

(昭和41年6月10日受付)

昭和 37,38 年 度 燈 台 飲 料 用 天 水 中 の ⁹⁰Sr お よ び ¹⁸⁷Cs の 定 量

長沢佳能・浦久保五郎・亀谷勝昭・城戸靖雅・池淵秀治

90Sr and 137Cs in Drinking Stock Rain Water Sampled at Beacon Light Houses During 1962, '63 and '64

Kakuma Nagasawa, Gorō Urakubo, Katsuaki Kametani, Yasumasa Kido and Hideharu Ikebuchi

まえがき

わが国では飲用水を天水に頼って生活する人口が約10万人をこえるといわれている。昭和36年秋以来開始された大型核爆発実験により,天水の放射能汚染が問題視されたので,昭和37年より2ヵ年間連続して全国の燈台で飲用天水について,これらに含まれる90Srおよび137Csを定量した。総放射能の測定と90Srの定量結果については,さきに報告1,2)ずみであるが,本報では137Csの定量を含め総括的に報告する。

1. 試 料

天水を飲用としている全国の燈台から、初年度(昭和37年4月~昭和38年3月)は12ヵ所、第2年度(昭和38年4月~昭和39年3月)には6ヵ所をえらび、初年度は毎月、第2年度は隔月飲料用ろ過天水および未ろ過天水各10Lをポリエチレンビンに入れて送付を受け、これについて分析を行なった。試料の送付を受けた燈台および場所は次のとおりである。

宗谷岬航路標識事務所 (北海道稚内市) 根室航路標識事務所* (北海道根室市) 室蘭航路標識事務所* (北海道室蘭市) 大間崎航路標識事務所*(青森県下北郡大間町) 鵜の尾崎航路標識事務所*(福島県相馬市)

両津航路標識事務所* (新潟県両津市)

三宅島航路標識事務所 (東京都三宅島)

潮岬航路標識事務所* (和歌山県西牟婁郡串本町)

長尾鼻航路標識事務所 (鳥取県気高郡青谷町) 室戸航路標識事務所 (高知県室戸市室戸岬町)

若宮航路標識事務所* (長崎県壱岐郡勝本町)

枕崎航路標識事務所* (鹿児島県枕崎市)

* 印の燈台では昭和 37 年度のみ試料の採取を行なった。また各燈台の地理上の位置を Fig. 1 に示す。

各燈台での試料は,毎月1回または2ヵ月に1回各 燈台で定めた日に貯留槽から採取されたものである。 それで試料はある一定の日に降下した雨水というわけ でもなく,また厳密に正確な月間平均値を示すもので もない。

各燈台で飲用に供したのはろ過水であるが,ろ過装置は各燈台によりその構造が少しずつ異っている.いづれも砂利,砂,木炭を沪過材として用いている.ろ過装置を通った水は、貯水槽に貯えられたのち使用される.分析に使用された末ろ過天水およびろ過天水は



Fig. 1. The location of beacon light houses where the potable rainwater were collected

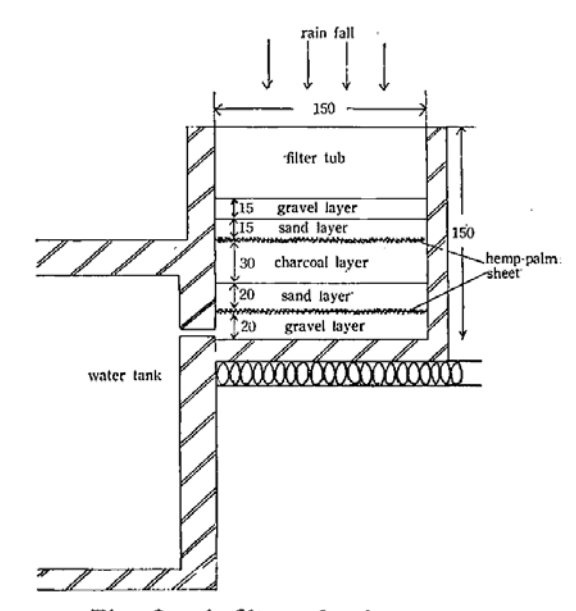


Fig. 2. A filter of rain water at a beacon light bouse (length unit cm)

Precipitate

Determination of 90Sr

Table 1. Radiochemical determination of 137Cs

10 L of sample solution

Add 100 ml of HNO₈.

Allow to stand for about a week.

Add 100 mg of Sr²⁺ and 50 mg of Cs⁺.

Neutralize with saturated NaOH soln.

Heat at about 80° and add 100 g of Na₂CO₃ with

Heat at about 80° and add 100 g of Na₂CO₃ with mechanical stirring.

Continue stirring for another 30 min or more.

Allow to stand overnight. Siphon the supernatant.

Supernatant

Add 100 mg of P as NaH₂PO₄ and 900 ml of HNO₃. Heat gently to 50°, add 130 g of (NH₄)₆ Mo₇O₂₄·4H₂O with mechanical stirring and continue stirring for another 30 min or more.

Allow to stand overnight.

Siphon supernatant.

Precipitate

Dissolve in 100 ml of NH₄OH $(1\rightarrow 2)$.

Add HNO₃ until precipitating begins and add more

10 ml of excess HNO₃.

Stir for 30 min or more.

Allow to stand overnight.

Filter through a micro Büchner funnel.

Precipitate

Dissolve in 5 ml of 0.5 N NaOH soln.

Add 5 ml of 2.5% sodium dipicrylamine soln.

Allow to stand for 1 hr.

Centrifuge at 2000 rpm.

Precipitate

Count by low back ground counter.

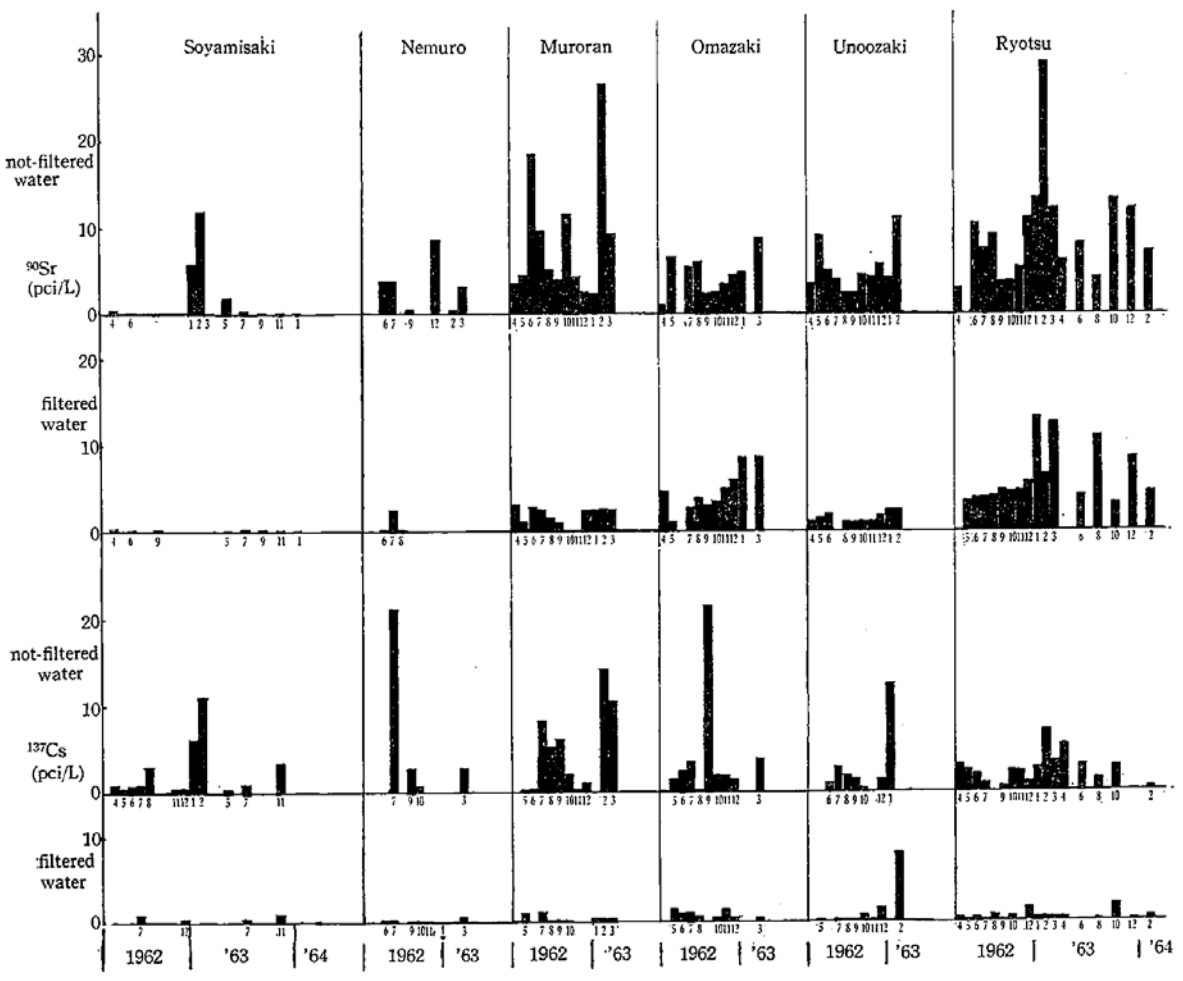


Fig. 3. Concentration of 90Sr and 187Cs in rain-water collected at 12 beacon light houses during the period from April, 1962 to March, 1964

いずれも降雨の日からどの程度の期間経過したものかは明らかでない。またろ過槽の砂利,砂,木炭の厚みなどは各燈台ごとに若干の差異があり、中には木炭層のないものもあるが、その代表的な一例としてFig. 2にその構造を示す。

2. 定量方法

1) 計測器

低バックグラウンド計数装置(日本無線医理学研究 所製 LBC-1 型)を用いて計測した.

 9°Sr の定量 前報¹⁾ に報告した。

3) 137Cs の定量

187Cs の定量方法については、リンモリブデン酸アンモニウム^{8,4,5)}、リンタングステン酸、ケイモリブデン酸⁶⁾、亜硝酸コバルト⁷⁾、ジピクリルアミン⁸⁾、テトラフェニルボロン⁹⁾ を用いる方法の他に、イオン交換樹脂による方法¹⁰⁾、ニッケルとフェロシアン酸による共沈法¹¹⁾、リンモリブデン酸とアスベストによる方法¹²⁾などがあるが、われわれは、リンモリブデン酸法

にしたがって行なった。 その操作は $Table\ 1$ のとおりである。

3. 定量結果

Fig. 3 に示すような結果を得た. また各燈台における両核種含有量の年間平均値を Table 2 に示す.

4. 考察

1) 汚染の年別,地域別の状況について

昭和 36 年秋ソ連が大型核実験を始めて以来アメリカも核実験を再開し、昭和 37 年 12 月の核実験中止までに百数十回の原水爆実験が行なわれた。昭和 37 年 4 月以来の燈台天水中の 90 Sr, 137 Cs の測定結果 (Fig. 3) からもわかるように実験が終ったのちもかなり汚染が続いている。また 3 カ所の燈台における未ろ過天水中の 90 Sr 定量値に昭和 39, 40 年度の分析化学研究所の結果130 を加えたものを Fig. 4 に示すが、この結果からもわかるように昭和 39 年においてさえも汚染の度合は大きい。しかし昭和 40 年は次第に汚染の度合は小さくなってきている。今後核実験が行なわれなければ、天水の汚染はさらに小さくなってゆくで

あろう。 また従来から知られ、Fig. 3 からも明らかなように

本邦北部に位する燈台の天水は本邦中部および南部に 比較して ⁹⁰Sr および ¹³⁷Cs 含有量は少なくなってい

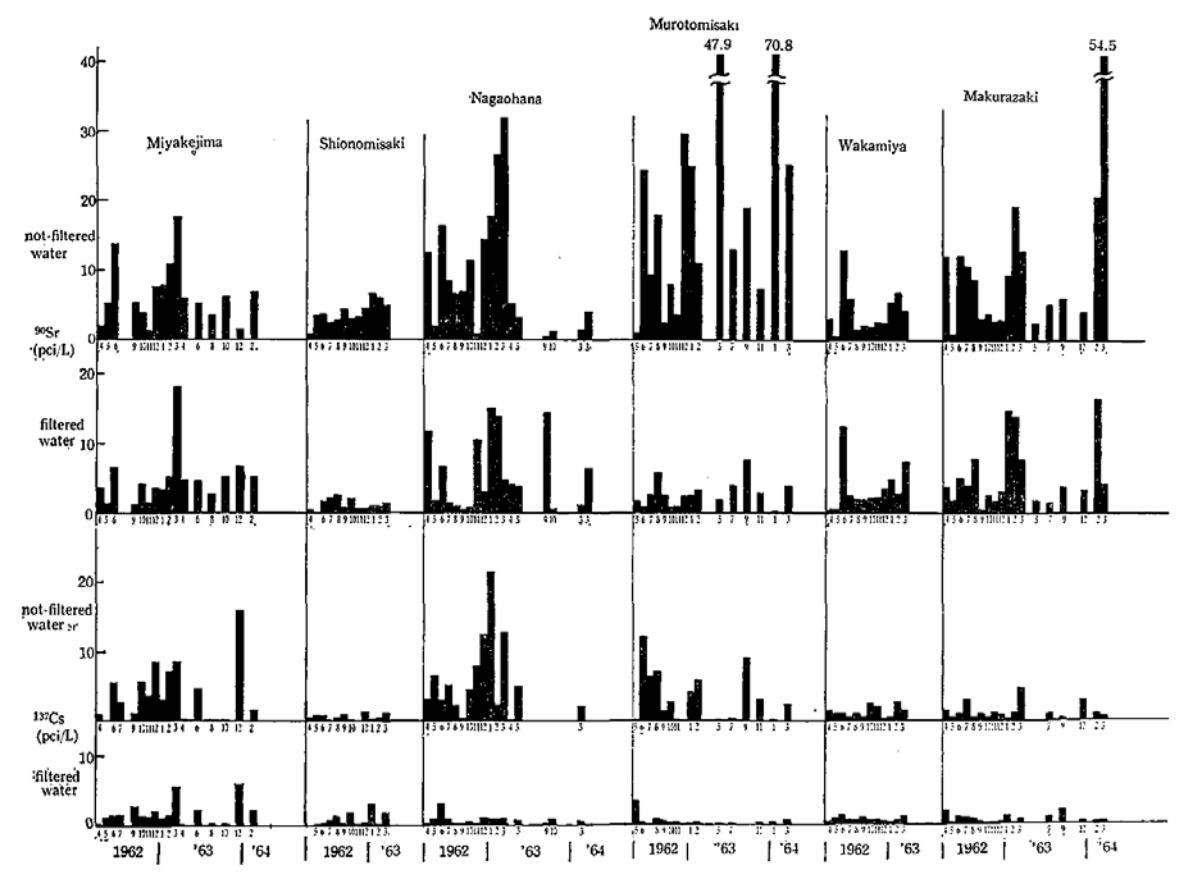


Fig. 3. Continued

Table 3. Annual mean values of 90Sr and 137Cs concentration of potable rain Water (pci/L)

sampling	filtered (F) or not	19	62	19	63	sampling	filtered (F) of not	1962		19	63
location	filtered (NF)	90Sr	137Cs	90Sr	¹⁸⁷ Cs	location	location filtered (NF)		¹³⁷ Cs	90Sr	¹³⁷ Cs
0	F	0.17	0.28	0.19	0.57	Shiono-	F	1.50	0.95		
Soyamisaki	NF	1.67	1.72	0.60		misaki	NF	3.89	0.63		
Namuus	F	0.34	0.18	,		Nagaohana	F	5.97	0.85	5.00	0.59
Nemuro	NF	1.90	2.90			Nagaonana	NF	13.07	2.60	2.66	2.60
M	F	1.88	0.44			Muroto-	F	2.45	0.77	3.54	0.33
Muroran	NF	8.49	2.97			misaki	NF	13.49	4.48	30.70	2.55
Omerali	F	4.64	0.95			Wolversing	F	3.69	0.70		
Omazaki	NF	4.60	3.90			Wakamiya	NF	4.15	1.18		
TI	F	1.68	1.38			Makurazaki	F	5.63	0.63	5.27	0.95
Unoozaki	NF	5.18	2.18			wakurazaki 	NF	8.38	1.35	15.61	1.13
Duratou	F	5.62	0.46	6.31	0.69	mean valu	e of F	3.18	0.79	4.06	0.76
Ryotsu	NF	9.17	2.64	8.67	2.29	mean valu	e of NF	6.80	2.65	10.52	2.32
	F	4.93	1.94	4.05	1.32	F/NF	(%)	46.8	30.0	38.6	31.9
Miyakejima	NF	7.59		4.88		removal		53.2	70.0	61.4	68.1

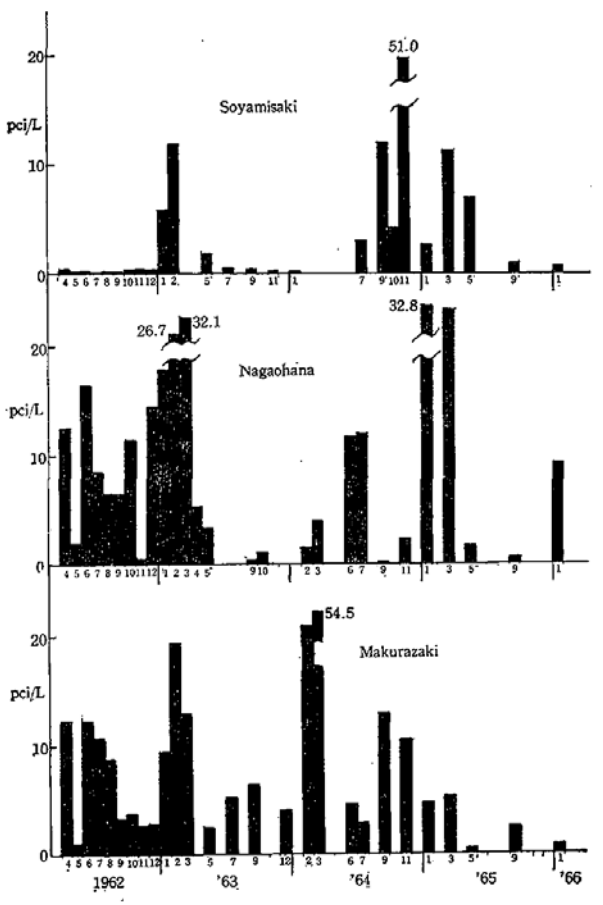


Fig. 4. Concentration of ⁹⁰Sr in not-filtered rain water collected at 3 beacon light houses during the period from April, 1963 to January, 1966

る. また中部, 南部の燈台天水の汚染の度合は採水場 所によってかなり異った値を示している.

2) ⁹⁰Sr と ¹³⁷Cs の比較およびろ過槽のろ過につい て

定量結果をみると 90Sr 汚染は宗谷岬を除いて, 187Cs 汚染より常に大きい値を示している. 核分裂収 率から考えれば 235U, 232Th の核分裂によりほぼ同じ 程度に 90Sr, ¹³⁷Cs が生成されるし, また ²³⁸U, ²³⁹Pu の核分裂の場合には90Srは殆んど生成しないから、天 水の汚染の場合にも 90Sr と 137Cs とがほぼ等しいか, あるいはむしろ 90Sr の方が少ない 程度に含まれなけ ればならない。しかしいずれの天水の場合にも ⁹⁰Sr の汚染が大きく, Table 2 によれば昭和 37 年度では 90Sr は 187Cs に比べて 2.6 倍高く,昭和 38 年度で は 4.5 倍の高い濃度を示している。この比率につい ては, 天水の採集, 貯留時における 90Sr, 137Cs の吸着 の差によるのではないかと考えられる. ろ過, 未ろ過 天水中の 90Sr および 187Cs 汚染の関係については Table 2 からも明らかなように、それぞれの核種が除 去される率は、90Sr では 50~60%、187Cs では 60~ 70% でわずかではあるが、187Cs の方が除去されやすいようである. 個々の燈台により前述するように、 ろ過装置の構造、あるいは天水の貯留状態が異なるので、核種の吸着の度合も異なっているようにみえる.

3) 天水飲用者の 90Sr 体内摂取について

天水を利用している人はろ過天水をすべての飲食用に用いているのであるが、ろ過天水中の 90Sr 汚染は Table 2 の結果から昭和 37 年度では年間平均 3.13 pci/L,昭和38年度では年間平均4.06 pci/L を示している。それでこの数字は天水飲用者の 90Sr 体内摂取量を考えるために、大きな factor になると思われる。日本人の総合的な日常食から摂取する 90Sr の昭和 37,昭和 38 年における定量結果を文献14)から求めると Table 3 のような数字が報告されている。この成績から都市成人は、大まかにいえば食品からの90Sr の体内摂取量は昭和37,昭和38年度にそれぞれ平均1人1日 9.85,13.28 pci であったといえる。

Table 3. Daily intake of 90Sr from total diet for urban adult (pci/day/person)

year &		1000			1963	
sam-\month		1962	,i		1903	
pling place	2	6~7	10~12	2	6~8	10~12
Hokkaidō		8.0	8.6	11.7	13.8	
Aomori						20.1
Miyagi		3.6	8.0		10.8	10.0
Akita		20.2	19.5	15.7	42.6	32.6
Ibaragi					7.4	6.8
Saitama	4.3				6.9	13.2
Tokyo		5.6	6.1	4.1		
Kanagawa					10.9	22.2
Niigata	8.5					,
Ishikawa		13.5	17.5		6.3	16.2
Fukui					6.3	14.7
Shizuoka					8.7	12.1
Aichi		5.5	7.0		9.8	10.2
Kyoto					19.8	13.1
Ōsaka		4.0	8.0			
Hyogo					6.8	8.3
Wakayama					4.4	8.4
Tottori		16.2	19.1		23.1	38.2
Okayama					9.4	10.5
Hiroshima					12.3	10.6
Kōchi	'			7.8	14.5	12.5
Fukuoka		5.4	8.4			
Nagasaki					9.4	3.7
Kagoshima					9.2	22.5
Annual mean value		9.85	5		13.28	

ここで天水飲用者が都市に住む人とほぼ同じような 食事を毎日とっており、都市水道水の 90Sr 含量がき わめて微量であり、また飲料用として用いる天水の量 を1日2.2Lとすると、両年度の天水飲用者の1人1 日当りの 90Sr体内摂取量は、大まかにいえば、それ ぞれ (9.85+7.0)pci、(13.28+8.93)pci であったと 考えられる。すなわち天水飲用者は、一般の都市に住 む人達より、昭和 37 年度、昭和 38 年度にそれぞれ 70% 程度多く 90Sr を摂取していることになる。

むすび

昭和37年4月(1962.4)から昭和39年3月(1964.3)まで各地燈台天水中の90Srおよび137Csを分析した. 北海道では本邦中部,南部に比べて汚染の度合は少なかった. 飲料用として用いるろ過天水の90Srの年間平均汚染濃度は昭和37年度では3.18 pci/L,昭和38年度では4.06 pci/Lを示し、187Csについては昭和37年度では0.79,昭和38年度では0.76 pci/Lを示した。この値から90Srの体内摂取についてみると,燈台天水利用者は都市に住む成人に比べて70%程度多くを摂取していることが推察された。

この調査を行なうため天水を送付された各燈台の方々に感謝する.

文 献

- 長沢佳熊, 城戸靖雅, 池淵秀治: 衛生試報, 81, 62 (1963)
- 長沢佳熊,浦久保五郎,城戸靖雅,池淵秀治:衛生試報,82,107(1964)
- B. Kahn, D. K. Smith, C. P. Straub: Anal. Chem., 29, 1210 (1957)
- N. Yamagata, T. Yamagata: Bull. Chem. Soc. Japan, 31, 1063 (1958)
- Y. Miyake, K. Saruhashi, Y. Katsuragi, T. Kanazawa: J. Radiation Research Japan,
 2, 25 (1961)

- N. Yamagata, S. Matsuda: Bull. Chem. Soc. Japan, 32, 497 (1959)
- 7) N. Yamagata: Japan Analyst, 5, 37 (1956)
- N. Yamagata, T. Yamagata: Analyst, 85, 282 (1960)
- T. H. Handley, C. L. Burros: Anal. Chem.
 31, 332 (1959)
- H. L. Caron, T. T. Sugihara: Anal. Chem.
 34, 1082 (1962)
- G. J. Mohanrao, T. R. Folson: Analyst, 88, 106 (1963)
- 12) 長沢佳熊, 亀谷勝昭: 衛生試報, 81, 77 (1963)
- 13) 分析化学研究所: 各種食品, 陸水, 雨水, ちり 等の放射能調査, (昭和 39, 40 年度)
- 14) 科学技術庁原子力局放射能課: 放射能調查資料, 昭和 40, p. 10, 28, 36

Summary

Potable rain-water samples used by the residents of beacon light houses were collected once a month during the period from April, 1962 to March, 1963 and once every other month during the period from April, 1963 to March, 1964, and analysis of 90Sr and 187Cs were carried out(results, Fig. 3).

The annual mean value of the nuclides concentration in filtered water in 1962 and 1963 were 3.18 and 4.06 pci/L for 90Sr, 0.79 and 0.76 pci/L for 187Cs, respectively (Table 2. Fig. 3). In reference report, it was reported that the annual mean value of daily intake of 90Sr from total diet for urban adult in 1962 and 1963 were 9.85 and 13.28 pci/day/person (Table 3). So, the calculated daily intake of 90Sr of the people who were using the filtered rain-water was supposed to be roughly 70% more than the urban adults.

(昭和41年6月10日受付)

メタノール中毒の実験的研究 (第3報) ウサギ体内における放射性メタノール (*CH₃OH) の分布と変化

長沢佳熊・竹中祐典・高崎中夫*

Experimental Study of Methanol Poisoning. III

Distribution and Convertion of ¹⁴C-Methanol in Rabbit.

Kakuma NAGASAWA, Yusuke TAKENAKA and Atsuo TAKASAKI

著者らは前報 1 においてメタノールのウサギでの経皮吸収について報告した。今回は,放射性メタノール (14 CH $_{3}$ OH) をウサギに静脈注射した場合の体内変化について報告する。

実験方法および結果

(1) 実験動物: 体重約 3 kg の健康な雄または雌ウ

サギ.

(2) 方法: i) 組織中の ¹⁴C の計測: 20% ¹⁴C メタノール/生理 食塩液(約 560,000 cpm) 0.3 ml/kg をウサギ耳静脈に注射し, 30 分, 1, 2, 3, 4, 5, 6, 7, 17, 20 時間後に心臓から採血後, 直ちに静脈内空気注入によって殺し,肝,腎,心臓,筋肉,脳を取り出し,肝,腎については生理食塩液を灌流して血液をでき

Table 1. Radioactivity found in tissues of rabbits at various intervals after intravenous injection of ¹⁴C-methanol

Each value is the mean of the values obtained from two rabbits. $0.3\,\mathrm{m}l\,(168,000\,\mathrm{cpm})$ of $20\,\%$ ¹⁴C methanol in saline was injected per kg body weight.

	30 min after inj.		1 hr after inj.		2 hr after inj.		3 hr after inj.		4 hr after inj.	
tissues	cpm per g of tissue	%*								
blood	131		130	_	103	_	29	_	0	
liver	168	4.07	160	2.38	144	3.42	224	5.22	272	4.79
kidney	232 -	0.4	136	0.2	160	0.3	184	0.3	256	0.4
heart	96	0.22	168	0.26	104	0.22	128	0.27	136	0.25
muscle	120	_	120	_	80	_	136	_	144	_
brain	120	0.3	180	0.4	120	0.4	184	0.5	224	0.5

	5 hr after inj.		6 hr 7 hr 17 hr after inj. after ir					20 hi after i	
cpm per g of tissue	%*	cpm per g of tissue	%*	cpm per g of tissue	%*	cpm per g of tissue	%*	cpm per g of tissue	%*
0									
368	6.9	328	5.44	320	5.8	128	2.4	112	2.17
344	0.5	150	0.2	312	0.5	152	0.2	80	0.1
104	0.2	96	0.16	72	0.13	56	0.11	40	0.08
128		88	_	-80	_	16	11	24	_
160	0.4	112	0.3	160	0.4	40	0.1	40	0.1

^{* (}cpm of total tissue)/(cpm of administered 14 C-methanol) \times 100

^{*} 昭和薬科大学学生

るだけ除く. 組織中の全 14 C については,Tye 52 の 全組織中の 14 C の液体シンチレーションによる計数法 により,また血液および臓器中の揮発性 14 C について は蒸留法 13 で得られる留液を Langham 53 の方法に より,Packard Tricarb 314 EX シンチレーション スペクトロメーターを用いて cpm を計測した.

ii) 肝臓のアセトン分画中の 14C の計測: i) の条件で、注射の5時間後に肝臓を摘出し、その 10g にアセトン約 50 ml を加えアセトン 乾燥粉末を作り、アセトンを沪過して全量を 100 ml とした。このアセトンを減圧蒸留 (25~32°, 250 mm Hg) して留液 (a) と残留物 (b) とに分けた。アセトン 乾燥粉末 1g をエーテル約 100 ml でソックスレー抽出器を用いて 20回還流し、エーテルを減圧濃縮して残留物 (c) を得、抽出残留物はデシケーター(五酸化リン)で減圧乾燥して粉末 (d) とした。(a) および (b) は Langham らの方法により、また(c) および (d) は Tye らの方法により前述の液体シンチレーション法でその cpm を計測した。

(3) 実験結果 Table 1参照. 投与した放射能(cpm)

に対する組織全量当りの放射能のパーセントは、注射 後 30 分, 1, 2, 3, 4, 5, 6, 7, 17, 20 時間の結果 は、常に肝に最も高く、腎、脳および心臓ではそれぞ れ肝の平均 7.36±0.64%, 8.29±1.24% および 4.62 ±0.9% であった. 注射後 30 分から 20 時間までの, 各時間における組織単位量あたりの cpm の分布をみ ると,30 分後では腎,肝にやや高く,血液,心臓, 筋肉,脳はほぼ等しい.1および2時間後では,各組 **織間の差が小さくなり, 3 および 4 時間後では血液が** 非常に低くなり、 4 時間後に はほとんど 認め られな い、肝は最も高く、続いて腎および脳に高く、心臓お よび筋肉に低い、5,6および7時間後では、肝、腎 に特に高く、脳がこれにつぎ、心臓、筋肉は肝、腎の 平均 31.71±4.19% となった. 17 時間後では肝, 腎 に高く、脳、心臓がこれにつぎ、筋肉はかなり低くな った. 20 時間後も同様であるが腎がやや減少した.

各組織単位量あたりの cpm の経時変化を図示すると Fig. 1-1~1-6 のようになる。 すなわち, 血液では投与後急速に減少し, 4時間後には消失するのに対し, 肝および腎では5時間後に最高値に達し, 脳, 心

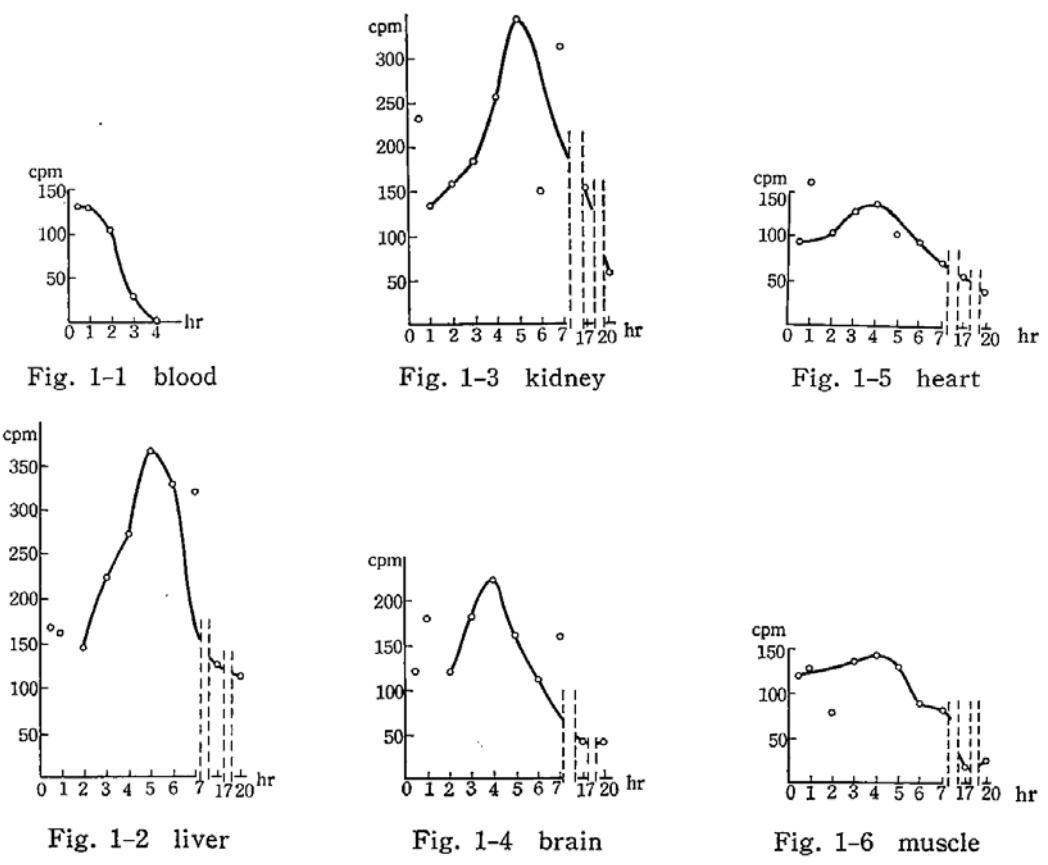


Fig. 1. Radioactivity found in g of tissue of rabbits at various intervals after injection of ¹⁴C-methanol

Curves obtained from data in the 1, 3, 5, 7, 9, 11, 13, 15, 17, 19th columns of Table 1. Each value is the mean from two rabbits. 0.3 ml (168,000 cpm) per kg body weight of 20% ¹⁴C methanol in saline was injected.

臓および筋肉では4時間後に最高値に達している.

上にみられた関係が、蒸留以外の方法で分けた組織の分画にもみられるかを確かめるために、14C メタノールる注射して5時間後に摘出した肝をアセトン乾燥粉末とし、そのアセトン部分を減圧蒸留して得られる留液と残留物、およびアセトン乾燥粉末についてそれぞれ14C の放射線を計測した(Table 3)、アセトン層には乾燥粉末よりやや多量の14C がみられるが、このアセトンを減圧蒸留して留液と残留物に分けると、留液中には肝1g あたりの14C の約7%がみられるに過ぎず、大部分は脂肪および乾燥粉末中に沈着しており、蒸留法で得られた関係を裏づけている.

なお、以上の実験で、肝、腎、心臓、脳、筋肉中の

14C の計測効率は約 60% であった.

考 察

ウサギに ¹⁴C メタノールを静脈注射するとき,注射 後 30 分から 20 時間にわたり,組織 g 当りの放射能 については肝が最も高く,腎がこれにつぐのは,これ らの器官でメタノールが代謝されるからであろう.こ れに次いで脳に高いのはメタノールの中枢作用と関連 して興味深い.

時間の経過による組織 8 当りの cpm の最高値は, 肝と腎では 5 時間, 脳では 4 時間, 心臓と筋肉では 4 時間にやや高くなりその後は急速に減少する. 血液で は投与直後から急速に減少し 4 時間後には 0 となる.

Table 2. Radioactivity found in g of tissue (A) and in distillate from g of tissue (B), and its ratio (B/A) at various intervals after intravenous injection of ¹⁴C-methanol
Each value is the mean of the values obtained form two rabbits.
0.3 ml (168,000 cpm) of 20% ¹⁴C-methanol in saline was injected per kg body weight.

	30 mi	n after inje	ection	1 hr after injection			2 hr after injection			3 hr after injection		
tissues	cpm per g of tissue (A)	cpm of distillate from g of tissue (B)	(B)/(A)	cpm per g of tissue (A)	cpm of distillate from g of tissue (B)	(B)/(A)	cpm per g of tissue (A)	cpm of distillate from g of tissue (B)	(B)/(A)	cpm per g of tissue (A)	cpm of distillate from g of tissue (B)	(B)/(A)
liver	168	8	0.05	160	10	0.06	144	11	0.08	224	14	0.06
kidney	232	28	0.12	136	10	0.07	160	11	0.07	184	10	0.05
muscle	120	14	0.12	128	13	0.1	80	17	0.2	136	17	0.13

4 hr	after inje	ction	5 hr after injection			6 hr after injection			7 hr after injection		
cpm per g of tissue (A)		(B)/(A)	cpm per g of tissue (A)	cpm of distillate from g of tissue (B)	(B)/(A)	cpm per g of tissue (A)	cpm of distillate from g of tissue (B)	(B)/(A)	cpm per g of tissue (A)	cpm of distillate from g of tissue (B)	(B)/(A)
272	3	0.01	368	3	0.008	328	3	0.009	320	2	0.06
256	16	0.06	344	10	0.03	150	7	0.05	312	0	0
144	21	0.15	128	20	0.16	88	20	0.25	80	17	0.2

17 hi	after inje	ection	20 hr after injection			
cpm per g of tissue (A)		(B)/(A)	cpm per g of tissue (A)	cpm of distillate from g of tissue (B)	(B)/(A)	
128	0	0	112	0	0	
152	0	0	80	0	0	
16	0	0	. 24	0	0	

Table 3. Radioactivity found in each fraction of rabbit liver, isolated 5 hours after intravenous injection of 20% ¹⁴C-methanol in saline and treated with acetone and ether

Each value is the mean of the values obtained from two rabbits.

0.3 ml (168,000 cpm) of 20% ¹⁴C-methanol in saline was injected per kg body weight.

	cpm per		cetone soluble com 1 g of live		cpm of aceto- ne insoluble, ether soluble	recovery		
	liver	العرب ال		fraction from 1 g of liver (%)*	tion from 1 g of liver (%)*	(%)		
1	224	120	10	48	14 (6)	76 (34)	94	
•		(54)	(4)	(21)	(40)			
2	224	110	20	50	17.5 (8)	60 (27)	84	
2	221	(49)	(9)	(22)	(35)			
3	168	60	10	30	16 (10)	50 (30)	76	
Ü		(36)	(6)	(18)	(4			
4	100		10	40			98	
4	4 100	(10)		(40)	(4			
mean		(46.33 ± 5.36)	(7.25%1.38)	(25.25 ± 4.99)	(40.75	±3.17)		

^{* (}cpm per g of liver found in each fraction)/(cpm per g of liver) × 100

肝, 腎および筋肉についてメタノールの蒸留法を用いて得た留液中の 14C と蒸留しない組織中の 14C の比の経時変化をみると、組織中に揮発性の形で存在するメタノールは投与直後から非常に少なく、大部分は不揮発性物質に変化すると考えられる。肝および腎の場合は、留液中の 14C はおおむね時間の経過とともに減少し、17~20 時間後には完全に消失している。筋肉の場合は若干の変動があるが、17~20 時間後にはやはり留液中に 14C はみられなくなる。この関係は、注射後 5 時間で摘出した肝をアセトン乾燥粉末とし、そのアセトン層および乾燥粉末の 14C を計測した場合にもほぼ同じで、アセトン層をさらに減圧蒸留して得た留液中の 14C は、肝 1g あたりの 14C の平均 7.25 ±1.38% で、大部分は脂肪およびたんぱく質部分に沈着している。

Casier4)は 14 C-エタノールのネズミ体内変化を調べ,組織中の揮発性 14 C の値の経時変化を明らかにしたが,われわれの 14 C メタノールの場合と非常に異なっている。主要組織中の揮発性 14 C の全 14 C に対す

る比は、メタノールの場合、注射後1時間ですでに平均 0.077 であるのに対し、エタノールの場合は 0.87 すなわちメタノールの約 11 倍である. 7時間後でもメタノールの平均 0.069 に対し、エタノールは 0.32、すなわち、メタノールの約 4.6 倍となっている. 換言すれば、メタノールは、エタノールに比べて極めて速く組織に固定されると考えられるが、メタノールの足延性中毒を説明する一資料になると思う.

文 献

- 1) 長沢佳熊, 竹中祐典: 衛生試報, 82, 110 (1964)
- R. Tye, J. D. Engel: Anal. Chem., 37, 1255 (1965)
- W. J. Langham, W. J. Eversole, F. N. Hayes,
 T. J. Trujillo: J. Lab. Clin. Med., 47, 819 (1956)
- 4) H. Casier: Arch. int. Pharmacodyn., 100, 175 (1954)

^{**} cpm per g of liver found in the distillate from acetone extract by distillation

^{***} cpm per g of liver found in the residue from acetone extract by distillation

Summary

The distribution of radioactivity in liver, kidney, heart, muscle, brain and blood of rabbits was investigated after intravenous injection of ¹⁴C-methanol.

- (1) The radioactivity of ¹⁴C dissapeared rapidly from blood and the injected methanol seemed to be distributed in organs and tissues shortly after the injection. The highest percentage of radioactivity of total tissue of that in administered ¹⁴C-methanol at various intervals from 30 minutes to 20 hours after injection was found in the liver (Table. 1). The radioactivities per gram or ml of these tissues were not so greatly different until 2 hours, however, from 3 to 20 hours after injection, the high radioactivity was found in liver and kidney, moderate, in brain and low, in heart and muscle.
- (2) The ratios of radioactivity per gram of tissues of ¹⁴C in the volatile fraction obtained by the distillation method¹⁾ and that in the total fresh tissues were as follows:

liver kidney muscle
1 hour after injection 0.06 0.07 0.1
5 hours after injection 0.008 0.03 0.16
7 hours after injection 0.006 0 0.2
17 hours after injection 0 0 0

(3) The rabbit liver removed 5 hours after injection was extracted with acetone and the acetone was distilled off. The radioctivities of three fractions so obtained were as follows:

acetone soluble and volatile fraction

 $7.25 \pm 1.38\%$

acetone soluble residue 25.25±4.95% acetone isoluble and non-volatile fraction

 $40.95 \pm 3.17\%$

(4) From the two experiments above, methanol seemed to convert to non-volatile substance in the body more shortly after the injection comparing to ethanol in Casier's report⁴⁾, and such rather rapid conversion of methanol may give reason for the retarded poisoning of methanol in our future research.

(昭和41年6月10日受付)

発熱性物質試験法に関する研究 (第3報)

電気的ウサギ体温測定法の発熱性物質試験への応用 (2)

田中 悟・桑村 司・上田瑞穂 川島邦夫・中浦槙介・大森義仁

Studies on the Pyrogen Test. III

Application of Electrical Thermometer
to the Pyrogen Test (2)

Satoru Tanaka, Tsukasa Kuwamura, Mizuho Ueda, Kunio Kawashima, Shinsuke Nakaura and Yoshihito Ōmori

著者らは,第1報¹⁾ で,横井ら²⁾ が発表した新しい ウサギ体温測定法が発熱性物質試験に応用可能である ことを明らかにした。

今回は更に,この測定法を確立するために,固定回数,感温部の大きさ,感温部の直腸内挿入深度などの 基礎的測定条件について検討したので報告する.

実 験 方 法

実験動物

 25 ± 1 ° の恒温室で飼育した外見上健康な体重、1.6。 $\sim 2.7 \, \mathrm{kg}$ の白色雄性ウサギを使用した。 なお実験中の給餌,給水は廃した。

体温測定法

資 料

国立衛生試験所標準品 (日本薬局方標準品) 酢酸コルチゾン標準品, ヒドロコルチゾン標準品およびシアノコバラミン標準品について

長 沢 佳 熊・越村栄之助・川 村 次 良 木 島 敬 二・玉野美矢子

Japanese Pharmacopoeia Standard "Cortisone Acetate Standard",
"Hydrocortisone Standard" and "Cyanocobalamin Standard"

Kakuma Nagasawa, Einosuke Koshimura, Jirō Kawamura,

Keiji Kijima and Miyako Tamano

日本薬局方酢酸コルチゾン,同錠,水性懸濁注射液, 日本薬局方ヒドロコルチゾン,同錠の確認試験および 日本薬局方シアノコバラミン,同注射液の定量法に用 いられる標準品として,国立衛生試験所標準品酢酸コ ルチゾン標準品,ヒドロコルチゾン標準品およびシア ノコバラミン標準品を製造したので,それらの試験成 績を報告する.

実 験 装 置

日局 VII 融点測定装置,応用電気自動旋光計 MP-1 T 型,日立分光光度計 EPU-2 A 型,日立自記分光光度計 EPS-2 型,日本分光赤外分光光度計 DS-301 型

酢酸コルチゾン標準品

外 観 白色結晶性の粉末

融 点 約 243° (分解) (未乾燥)

240~243°(分解)(減圧,五酸化リン,3 時間乾燥後)

約 237° (分解) (105°, 3 時間乾燥後)

241~244° (105°, 3 時間乾燥後デシケーターに 入れないで1週間放置)

旋光度 $[\alpha]_{589}^{20}$: +213° (乾燥後, 0.1 g, ジオキサン, 10 ml, 100 mm)

吸光度 $E_{1cm}^{1\%}$ (239 m μ): 394 (乾燥後, 0.01 g, メタノール, 1000 ml, 10 mm)

なお, U.S.P. 標準品の測定値は 394 であった. 乾燥減量 0.24% (0.4g 105°, 3 時間) ろ紙クロマトグラフ

U.S.P. XVII 酢酸コルチゾンの Related foreign steroids の項によって U.S.P. XVII Foreign steroids test を行なうとき, これに適合する.

赤外吸収スペクトル Fig. 1. (KBr 錠剤法)

ヒドロコルチゾン標準品

外 観 白色結晶性の粉末

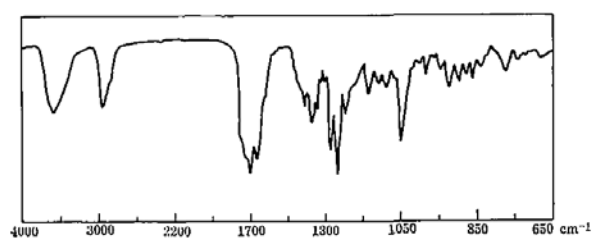


Fig. 1. Japanese Pharmacopoeia (J. P.) Standard of Cortisone Acetate

融 点 213~220°(分解) (未乾燥) 212~215°(分解)(減圧,五酸化リン,3時間乾 燥後)

192~194°(分解)(105°,3時間乾燥後) 218~220°(分解)(105°,3時間乾燥後デシケー ターに入れないで1週間放置)

旋光度 $[\alpha]_{589}^{20}$: +154° (乾燥後, 0.1 g, ジオキサン, 10 m*l*, 100 mm)

吸光度 $E_{1em}^{1\%}$ (241 m μ): 450 (乾燥後, 0.01 g, メタノール, 1000 ml, 10 mm)

なお, U.S.P. 標準品の測定値は 450 であった. 乾燥減量 0.13% (0.6g, 105°, 3 時間) ろ紙クロマトグラフ

U. S. P. XVII ヒドロコルチゾンの Related foreign steroids の項によって U. S. P. XVII Foreign steroids test を行なうとき, これに適合する.

赤外吸収スペクトル Fig. 2. (KBr 錠剤法)

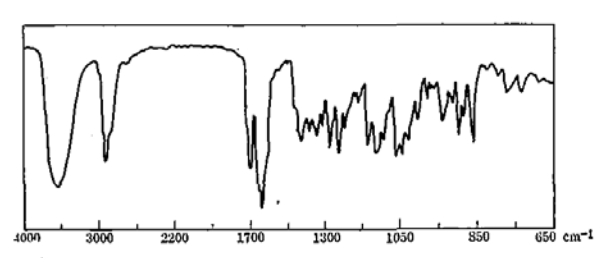


Fig. 2. J. P. Standard of Hydrocotisone

シアノコバラミン標準品

外 観 暗赤色結晶性の粉末

プソイドシアノコバラミン

日局 VII シアノコバラミンの純度試験に適合する.

吸光度 $E_{lem}^{1\%}$ (361 m μ): 208 (乾燥後, 0.02 g, 水, 100 ml, 10 mm)

なお, 国際標準品 および U.S.P. 標準品の測 定値は, ともに 206 であった.

E₃₆₁/E₂₇₈: 1.86 (同上) E₃₆₁/E₅₅₀: 3.36 (同上)

乾燥減量 7.1% (0.02g, 減圧, 五酸化リン, 4時

間)

赤外吸収スペクトル Fig. 3. (KBr 錠剤法)

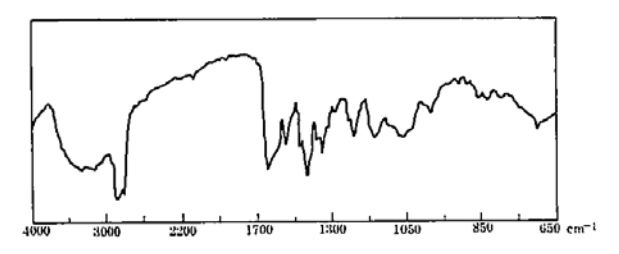


Fig. 3. J. P. Standard of Cyanocobalamin

(昭和 41 年 6 月 10 日受付)

尿中麻薬の検出について (第5報)

大 野 昌 子•朝比奈晴世

Detection of Narcotic Drugs in Biological Fluid. V.

Masako Ōno and Haruyo Asahina

中毒者尿から麻薬を抽出し、確認するため、ヘロイン中毒者およびあへん吸煙者の尿についてこれまでに確立した方法を用い、とくに検出、確認法に重点をおいて追試し、検討を加えた。

実験材料、方法、および結果

I. 尿の前処理 中毒者尿 は pH を測定したの ち,塩酸酸性で加水分解する¹⁾.

われわれが取扱ったヘロイン中毒者の1回の尿量は $20\sim300\,\text{m}l$, pH は $5.3\sim9.2\,\text{o}$ 広範囲にわたり,またあへん中毒者尿では尿量 $25\sim132\,\text{m}l$, pH $5.3\sim7.0\,\text{c}$ で,尿量,pH いずれについても中毒者に特異性が認められなかった。新たに得られた試料の尿量,pH を第1表に示す。

第 1 表

試 料	尿 量	pH		
A	101.5 ml	6.7		
В	20.0	5.3		
С	132.0	5.3		
一般人尿	92~310	4.7~80.		

A, B: ヘロイン中毒者尿, タバコ喫煙者 C: あへん吸煙者尿, タバコ喫煙者

前記試料 A, C 各 $50 \, \text{m}l$ ずつを塩酸で加水分解し (それぞれ A-1, C-1 とする), また別に A, C 各 50

ml ずつ, B は全量を塩酸酸性とし (それぞれ A-2, B-2, C-2 とする), それぞれつぎの操作に移る.

II. あへんの副アルカロイド および 妨害物質の分離と検出

(1) 試料 C-1, C-2 をクロロホルムと振り混ぜ, クロロホルム抽出物について薄層クロマトグラフィー を行なったが(クロマトグラフィーの条件は(2)の場合と同じ), テバイン, パパベリン, ノスカピンは 検 出されなかった. すなわちこれらあへんの副アルカロイド, とくにあへん中ではコデインよりも含量の高い ノスカピンが認められず,後述のようにコデインが検 出された.

スポットの確認には、塩化白金ョウ化カリウム溶液 を噴霧する方法のほか、この溶液を噴霧後さらにアン モニア蒸気にさらしたのち、けい光の有無を検する方 法、あるいは展開後の薄層をョウ素蒸気にさらし、け い光の有無を検する方法(後述)を用いた。ノスカピ ンは、このけい光反応に鋭敏である。

(2) A-1, A-2, B-2 および (1) のクロロホルム 抽出操作後の C-1, C-2 を 水酸化ナトリウムの アル カリ性とし, クロロホルムを用いて抽出する.

抽出物は塩化白金ョウ化カリウム溶液によるスポットテストでいずれも呈色し、薄層クロマトグラフィーを行なった結果は第2表のように、いずれからもニコ